

貯留液体～タンク～地盤の軸対称構造振動解析

(株) 日科技研電機開発情報センター

正○大西久 鳥

(財) 電力中央研究所

正 国生 利治

同 上

正 岩橋 敏広

1. まえがき

地盤～構造物連成振動解析には理在構造の手法が用いられるが、複素応答法は、地盤減衰特性を良好に表現できること、要素レベルで減衰を変更できること、伝達境界を比較的容易に取付けられることが多くの利点を有しており、地盤～構造物連成振動解析の有力な解析手段の一つである。⁽¹⁾ 又地盤の非線形性の考慮という点では、等価線形法による直線性の導入により、工学的に十分満足のできる結果を与えることか示されている。⁽²⁾ 等者らは既に「地下タンクの耐震性」の研究で、軸対称モデルにこの複素応答法と等価線形法を適用し、実験との対比から二つから解析手段が良好な結果を与えることを示した。本研究では更に手法を拡張し、液体～タンク～地盤連成系の解析を試みた。液体～タンク連成系解析の一つの手段として、液体部分に非圧縮性を仮定し、ラプラス方程式に支配される有限要素で近似し、連成させる手法があるが、耐震性の面からはあまり意味のない液体部分に多くの節点を設ければならず、効率的とは言い難い。工学的には、液体部分を固定水と自由水とに分け、各々をバネマス系に表現したモデルが一般的に使用されている。このモデル化により一応はタンク壁にかかる衝撃圧頭は近似できること、このモデルの重大な欠点として、水平加速度によりタンク底にかかる上下衝撃圧頭を表現できない懸念がある。この欠点をモデル化により除いたため、タンク壁のバネマス系の取付け位置を高める手法が用いられるが、この手法はタンク底部の剛性に依存し、特に高さに比して径の大きいタンクの場合には問題となる。本研究では、Chopra ⁽⁴⁾ 他がダム～水連成系解析に用いた dynamic substructure 法の手法により液体とタンクを連成させ、液体の衝撃圧とスロッシング圧には Noussair ⁽⁵⁾ 及び柴田・曾我部 ⁽⁶⁾ の理論式を用いた。すなまち、タンク壁には各節点の水平方向加速度に比例する衝撃圧及びスロッシング圧を加え、タンク底には基準点(タンク底中央)の水平方向加速度に比例する上下方向衝撃圧及びスロッシング圧を加えた。これら液体連成項の存在のため連立方程式の俌数行列は一部非対称となるが、この非対称性は局部に限定され、大部分は対称行列の形を保持するため、対称ソルバと非対称ソルバを組合せ、本問題に関しては殆ど対称行列と同時に解きうる手法を用いた。アログラムの基本的部については、既報告⁽³⁾で検証しているため、衝撃圧及びスロッシング圧分布の理論通り加えられていてこれを検証用例題を用いて検証した後、大型の地上タンクを本手法によりモデル化し、解析を試みた。

2. 解析理論

軸対称モデルに複素応答法と等価線形法を適用した解析理論は既報告⁽³⁾に詳細に記載されているため、本稿では簡単に記述するにとどめる。地盤～構造物連成系は基底加速度 $\ddot{\zeta}$ が加えられた時の運動方程式は、

$$[M] \{ \ddot{U} \} + [K] \{ U \} = - \{ m \} \ddot{\zeta} \quad (1)$$

である。ここで $[M]$ は質量マトリクス、 $[K]$ は剛性マトリクスで $G^* = G(1 - \beta^2, 2i\beta\sqrt{1-2\beta^2})$ (β : 減衰比) により減衰を含む複素剛性マトリクスであり、 $\{ U \}$ は変位ベクトル、 $\{ \ddot{U} \}$ は相対加速度ベクトルである。(1)式に複素応答法を適用する。すなまち、周波数 ω の加振に対する系は ω で直進するものとして、 $\{ U \} = \{ U_0 \} e^{i\omega t}$ 、 $\ddot{\zeta} = \zeta_0 e^{i\omega t}$ ($\{ U_0 \}$ は変位振幅ベクトル) を代入すると、

$$([K] - \omega^2 [M]) \{ U_0 \} = - \{ m \} \zeta_0 \quad (2)$$

となる。入力地震動は一般にランダム波であるため、 $\zeta_0(t) = \sum \zeta_n e^{i\omega n t}$ により FFT (高速フーリエ変換) を用いてフーリエ変換し、各フーリエ成分毎に(2)式を解き、周波数空間を得られた変位振幅を用ひ

FFTを用いて逆フーリエ変換することにより時間空間へ戻す。以上の基本手法は本研究においても同様に使用されてい。次に流体連成項の導入に入るが、その前に Dynamic Substructure 法を概説する。Fig 1 の系の運動方程式は。

$$m\ddot{u}_1 + k(u_1 - u_2) = -m\ddot{z}$$

$$M\ddot{u}_2 + Ku_2 + k(u_2 - u_1) = -M\ddot{z}$$

$z = u_1 - u_2$ を代入し、変形すると。

$$m\ddot{z} + k z = -m(\ddot{z} + \ddot{u}_2)$$

$$M\ddot{u}_2 + Ku_2 = -M\ddot{z} + F$$

ここで $F = -k z$ である。すなはち、伝達関数 F の導入により、多自由度連成系の一部を substructure として扱うこと可能となる。従って流体連成項を含む運動方程式は、

$$[M]\{\ddot{u}\} + [K]\{u\} = -\{m\}\ddot{z} - \{F\} \quad (1')$$

ここで F は衝撃圧及びスロッシング圧を表す流体連成項であり、(1')式に前と同様に複素応答法を適用すると、

$$([K] - \omega^2[M])\{U\} = -\{m\}\ddot{z} - \{F\} \quad (2')$$

$\{F\}$ はタンク壁水平方向(R 方向)、タンク底上下方向(Z 方向)自由度のみに非零項を有し、他の自由度成分は全て零である。タンク壁成分は W 、タンク底成分は B 、衝撃圧成分は I 、スロッシング圧成分は G の添字をつけて表すものとし、

$$\{F\} = \{F_W\} + \{F_B\}$$

$$\{F_W\} = \{f_z N_{IW} + f_s(w) N_{SW}\} (Z_0 - \omega^2 \{U_{W0}\})$$

$$= \{G_W\} \cdot (\text{タンク壁 } R \text{ 方向絶対加速度振幅})$$

$$\{F_B\} = \{f_z N_{IB} + f_s(w) N_{SB}\} (Z_0 - \omega^2 U_{B0})$$

$$= \{G_B\} \cdot (\text{タンク底基準点 } R \text{ 方向絶対加速度振幅})$$

ここで $\{G_W\}$ はタンク壁 R 方向自由度のみに非零項を有し、 $\{G_B\}$ はタンク底 Z 方向自由度のみに非零項を有する。 f_z 、 $f_s(w)$ 、 N_{IW} 、 N_{SW} 、 N_{IB} 、 N_{SB} は以下の説明するとして(2')式の変形を続ける。

$$([K] - \omega^2[M])\{U\} - \omega^2 \{G_W\} \{U_{W0}\}$$

$$- \omega^2 \{G_B\} U_{B0} = -\{m + G_B + G_W\} Z_0$$

$$\therefore ([K] - \omega^2([M] + [G_W] + [G_B]))\{U\}$$

$$= -\{m + G_B + G_W\} Z_0 \quad (3)$$

$$[G_W] = \begin{bmatrix} 0 \\ 0 \\ G_W \end{bmatrix}$$

$$[G_B] = \begin{bmatrix} \xrightarrow{\text{基準点 } R \text{ 方向自由度}} & \\ 0 & \{G_B\} & 0 \end{bmatrix}$$

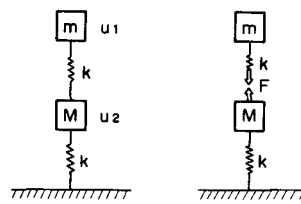


Fig 1 Dynamic Substructure

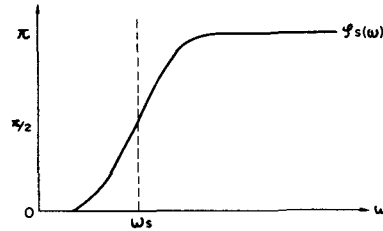
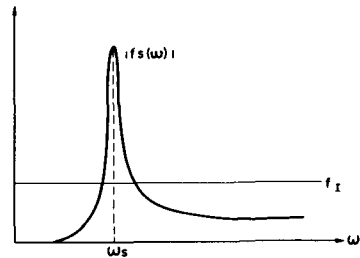


Fig 2

FOR IMPULSIVE PRESSURE

$$N_{IW}(Z) = 2 \left[0 - \frac{Z}{H} \right] - \frac{1}{2} \left(1 - \frac{Z}{H} \right)^2$$

$$\frac{H}{R} = 10$$

$$N_{IW}(r) = \frac{\sinh \sqrt{3} \frac{r}{H}}{\sinh \sqrt{3} \frac{H}{2}}$$

10

FOR SLOSHING PRESSURE

$$\epsilon_1 = 1.841$$

$$\frac{H}{R} = 10$$

$$N_{SW}(Z) = \frac{\cosh(\epsilon_1 \frac{Z}{H})}{\cosh(\epsilon_1 \frac{H}{R})}$$

$$\frac{H}{R} = 10$$

$$N_{SW}(r) = \frac{J_1(\epsilon_1 \frac{r}{H})}{J_1(\epsilon_1) \cosh(\epsilon_1 \frac{H}{R})}$$

0.3095

Fig 3

この(3)式は(2)式に G_{II} , ω_B の項を加えたものであり、(2)式と同様に解くことができるが、 $[G_B]$ の項があるため、すなむち水平動による上下圧力成分を表す項があるため、結果として生じる係数行列は非対称となる。非対称ソルバは対称ソルバと比較して時間メモリ両方の点で非常に不利となるため、この場合の係数行列の非対称性が局所的であることを着目し、①非対称列を係数行列の最後に移項し、②最後の行と列を除いて通常の対称行列に適用するしもじ分解を用い、③最後の行と列にのみ非対称行列のしもじ合算を施した。この手法では①の移項により局所的にバンド幅が非常に大きくなるため、通常のバンド解法では非常に不利となるが、この点に関しては局所的なバンド幅の増加に影響されないアクティブ・カラム法を用いているため問題とはならない。

3. 流体連成項

ここで流体連成の各項を説明する。タンク径 R , 液高 H .

液比重 ρ , 重力加速度 g および衡撃圧係数 f_I は、

$$f_I = \sqrt{3} \cdot H / (2g) \cdot \tanh(\sqrt{3} R / H)$$

が表わされ、周波数依存性はないが、スロッシング圧係数 $f_S(\omega)$ は固有周期 ω_S 減衰率 ζ の 1 自由度振動系の共振曲線で、

$$f_S(\omega) = |f_S(\omega)| e^{i\phi(\omega)}$$

$$|f_S(\omega)| = \frac{2\zeta}{g} \frac{R}{C^2 - 1} \frac{(\omega/\omega_S)^2}{\sqrt{(1 - (\omega/\omega_S)^2)^2 + (2\zeta\omega/\omega_S)^2}}$$

$$\phi_S(\omega) = \tan^{-1} \frac{2\zeta\omega/\omega_S}{1 - (\omega/\omega_S)^2}$$

$\zeta = 2^\circ E_1$ は $J_1'(E) = 0$ を満たす最小の正の数で、約 1.841 である。 f_I , $f_S(\omega)$ を Fig. 2 に示す。壁部衡撃圧分布形

N_{EW} 、底部衡撃圧分布形 N_{IB} 、壁部スロッシング圧分布形

N_{SW} 、底部スロッシング圧分布形 N_{EB} の式と形状を Fig. 3 に示す。

4. 解析例

本研究の理論によれば、衡撃圧及びスロッシング圧両方の影響を考慮したタンクへ地盤連成系の解析が可能であるが、本稿では特に衡撃圧成分のみを含めて解析した例を示す。

プログラムの基本的部分は既報告で検証されているため、まず検証用例題により衡撃圧分布が理論通り与えられていることを確認した。検証用例題を Fig. 4 に示す。この系は発生した衡撃圧を定量的に検証するためホアン比を 0 とし、又衡撃圧分布面の反対面は全て拘束して反力を発生させている。この系に最大加速度 0, 2 G の振動を加えた時の

Housner の理論衡撃圧分布と要素内応力を

Fig. 5 に示す。衡撃圧分布の最大点付近で一致しない理由は、分布圧力荷重を節点に集中化しているためである。なお、この要素内応力は空タンク加震時の値で補正してある。この結果から理論通りの衡撃圧分布を得られていることが理解できる。

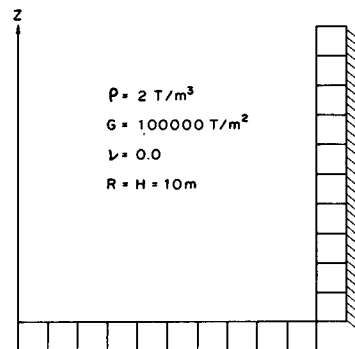


Fig. 4

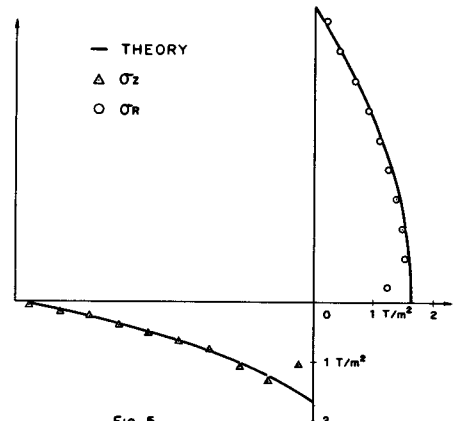


Fig. 5

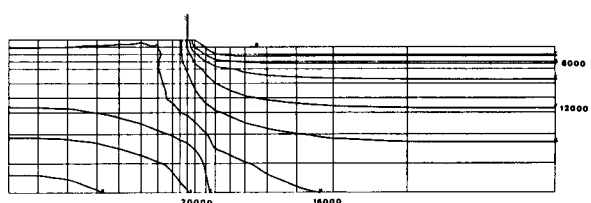


Fig. 6 CG (T/m²)

次いで 30000 kN タンクを対象としたタンクへ地盤連成系モデルを本手法により解析した。ここで砂質系地盤を想定し、以下の方法により地盤 G_0 値を求めた。すなはち、①上載荷重である静水圧 16.4 T/m^2 による静的応力解析を行ない、上載荷重平均主応力 $\sigma_e' = (\sigma_r + \sigma_a + \sigma_t)/3$ を求め、② $\sigma_m' = (1 + 2k_0)\sigma_e'/3$ (但し σ_v' は自重による有効鉛直圧、 k_0 は静土圧係数 ≈ 0.5 E 仮定) により土の自重による有効拘束圧 σ_m' を求め、③常時拘束圧 $\sigma_o' = \sigma_e' + \sigma_m'$ を求め、④速度換層の結果から得られた G_0 と $G_o = C_o(\sigma_o')^{1/2}$ から C_o を求めでき、⑤上記 C_o と ③の σ_o' から G_o の分布を決定した。得られた G_o の分布を Fig. 6 に示す。歪依存物性としては、Sand-Idriess のカーブを参考として基準歪 $\delta_r = 5.4 \times 10^{-2} (\%)$ の双曲線形を用いた。 $10 (\%)$ 番時 α_f には 29 % を用い、スルは 2 % 以下にはならないようにした。なお等価線形法に用いるピーク歪に対する有効歪の比率には一般的に用いられる 0.65 を使用した。入力地震動は最大加速度 0.15 G に規格化した El Centro '40 NS 波である。解析には IBM 3033 を用い、間波数 1 点当たり 2.3 秒、全体で約 500 枝を要した。物性収束時の最大加速度分布を Fig. 7 に、最大せん断応力分布を Fig. 8 に、垂直方向応力 (σ_z) 分布を Fig. 9 に示す。Fig. 9 から理解できるように、直的最大拘束圧は最大約 6 T/m^2 で、静的拘束圧 16.4 T/m^2 の約 3 分の 1 に匹敵する。

5. 結論

本手法により、貯留液体へタンクへ地盤系の連成振動解析が比較的かつ経済的に行なえる可能性が示された。本手法は、地震時タンク拘束圧の決定、マウンド形状の安定性評価、地震時液状化を考慮した地盤改良範囲の決定等に多くの有効な判定基準を与えると思われる。

参考文献

- (1) Lysmer 他 「FLUSH」 EERC 75-3
- (2) 国生、岩橋 「軟弱地盤の非線形震動特性についての模型実験と解析」 土木学会論文集 1979年5月
- (3) 岩橋、国生他 「地下タンクの耐震性の検討」 第5回日本地震工学シンポジウム 1978
- (4) Chopra 他 「EADHI」 EERC 73-7
- (5) Housner 「Dynamic Pressure on Fluid Containers」 1963
- (6) 柴田 曾我部 「円筒液体貯槽の液面動揺の応答」 東大 生産研究 1974

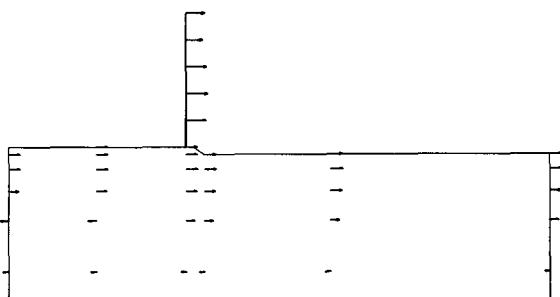


Fig. 7 MAX ACCEL (G) → 0.50

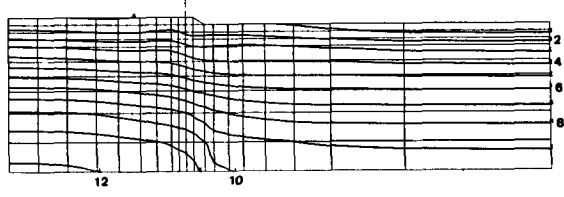


Fig. 8 MAX SHEAR (T/m²)

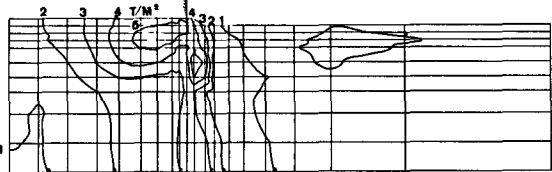


Fig. 9 SIG Z (T/m²)

2 3 4 5 6 7 8

T/m²

12 10

m

8 6 4 2

m

12 10

m

8 6 4 2